
Modelagem e Controle de Quadrirrotores

***Pedro Henrique de Rodrigues Quemel e Assis Santana,
Geovany Araújo Borges.***

e-mails: phrqas@ieee.org, gaborges@ene.unb.br.



Laboratório de Robótica e Automação (LARA)
Grupo de Robótica, Automação e Visão Computacional
(GRAV)
Departamento de Eng. Elétrica - Universidade de Brasília
(UnB)



Sumário

- Introdução;
- Modelagem Matemática;
- Controle e Simulações;
- Conclusões;

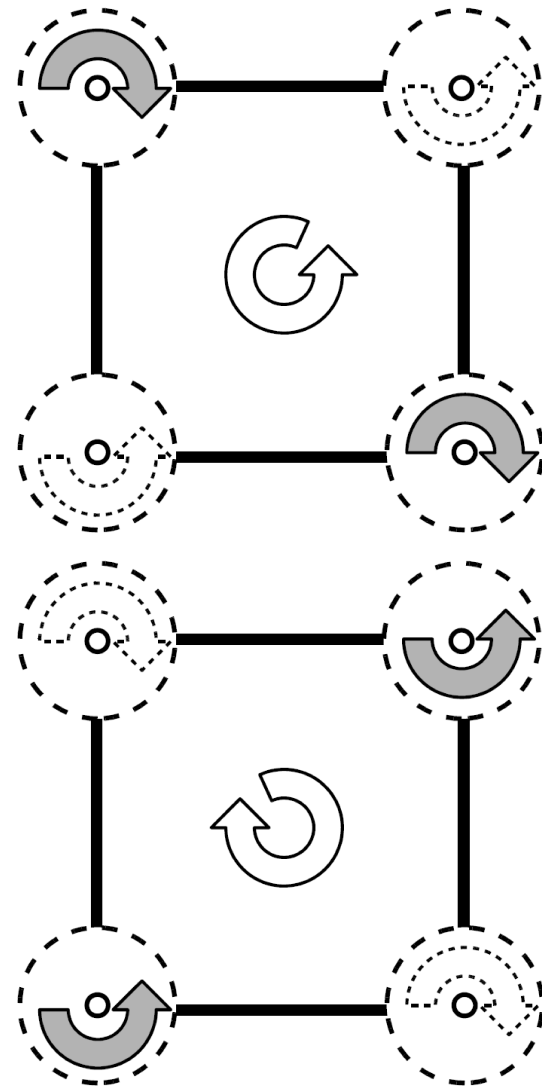
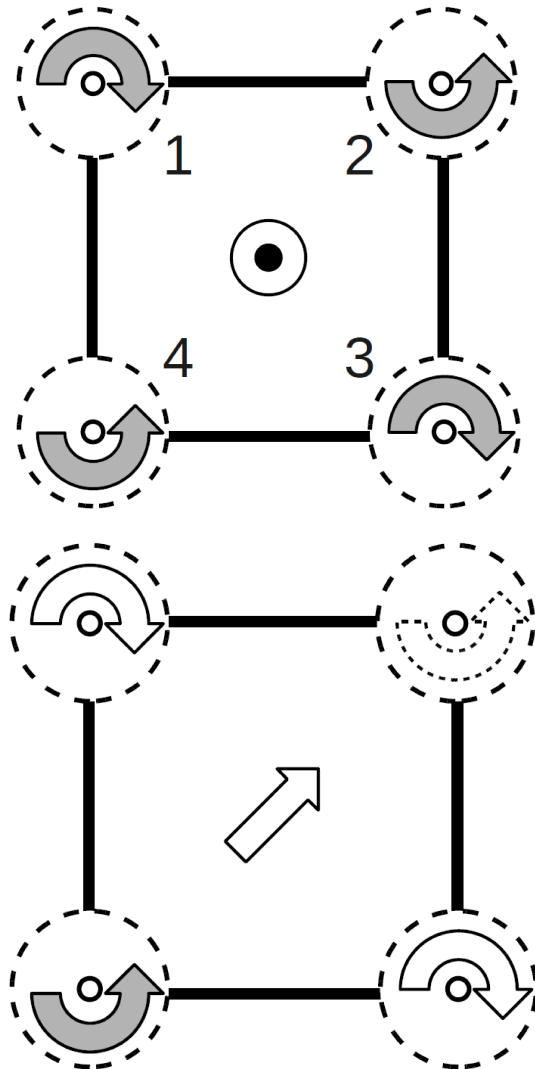
Introdução

- Helicópteros quadrirrotores:
 - Empuxo gerado por quatro hélices propulsoras;
 - Primeiros veículos HTA (*Heavier Than Air*) com capacidades VTOL (*Vertical Take off and Landing*);

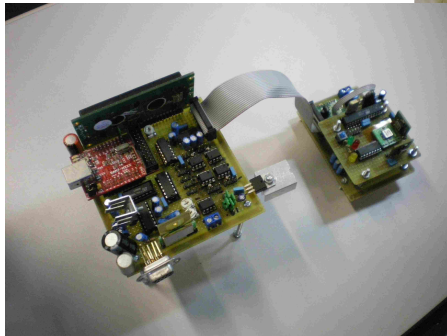
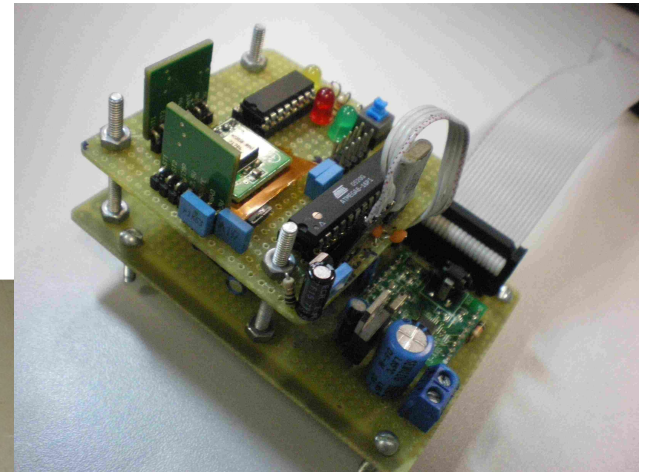
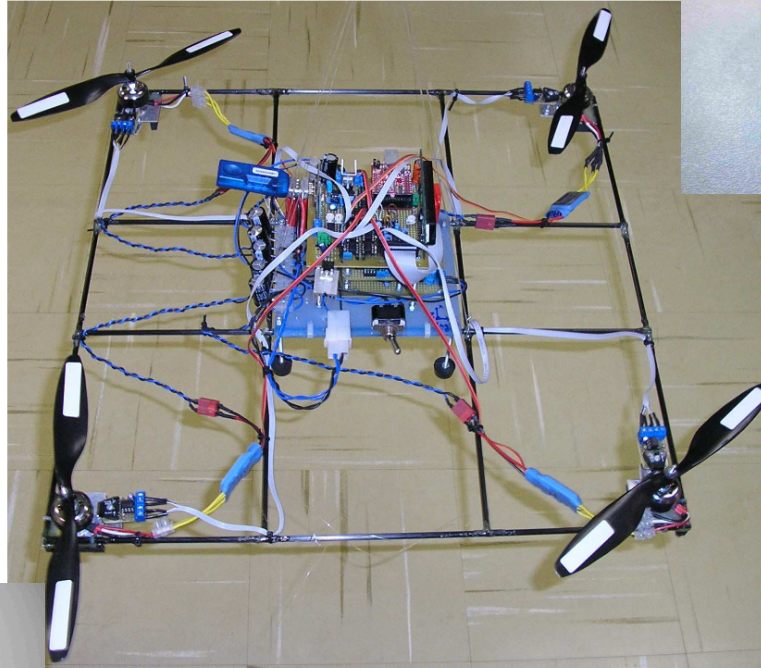
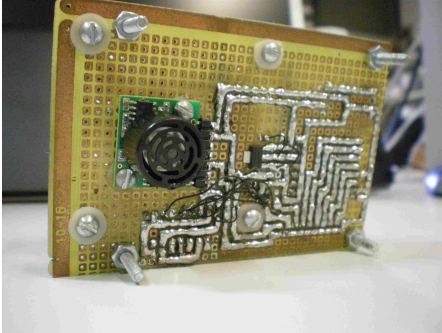
- Aplicações;
 - VANTs miniatura;
 - Vigilância, inspeção, filmagem, fotografia, lazer, etc;
 - Ambientes externos e internos;

- Estabilização
 - Subatuados;
 - Forte acoplamento e não-linearidades desconhecidas;
 - Utilização de estratégias de controle lineares e não-lineares.

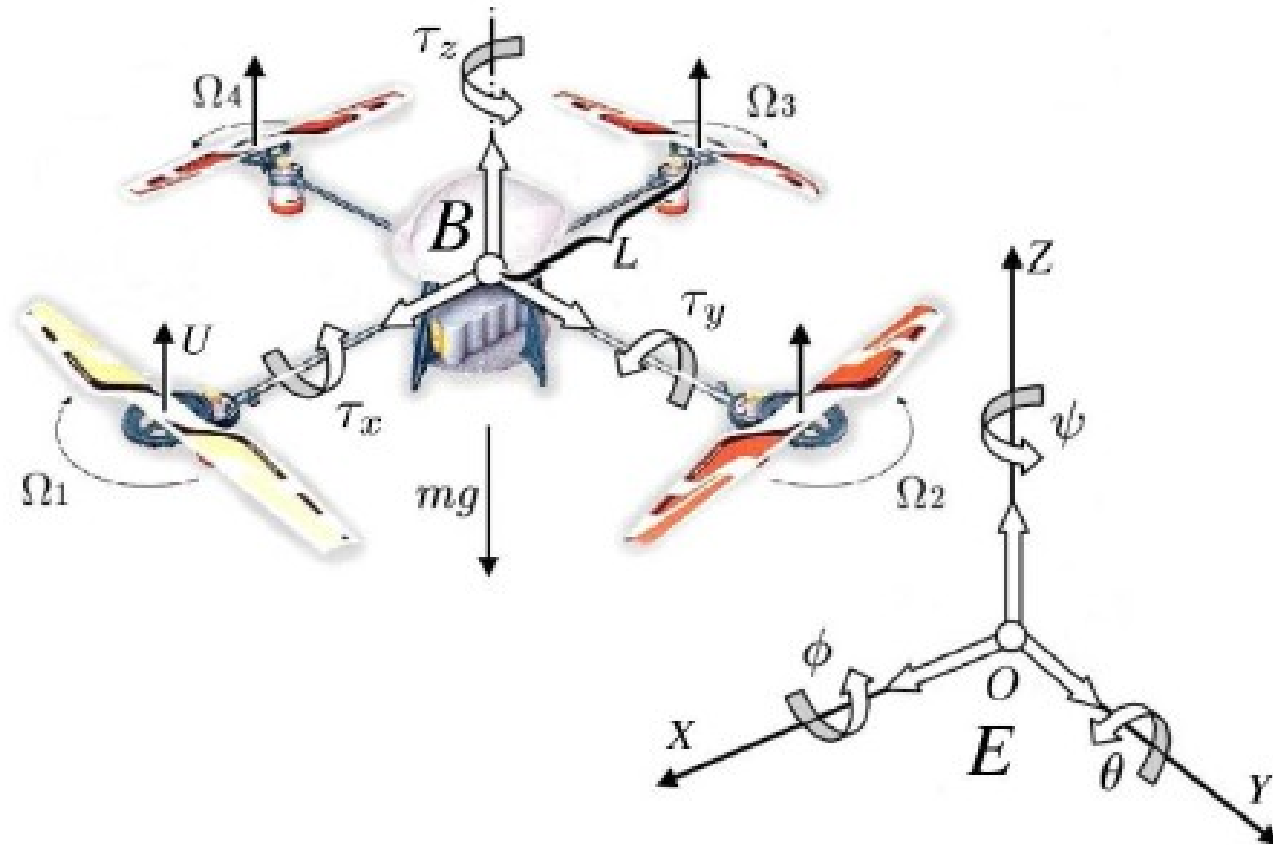
Introdução



Introdução



Modelagem Matemática



Modelagem Matemática

- Vetor de estados

$$\zeta = [x \quad y \quad z \quad \phi \quad \theta \quad \psi]^T$$

- Modelo do empuxo

$$U = b(\Omega_1^2 + \Omega_2^2 + \Omega_3^2 + \Omega_4^2)$$

- Matriz de projeção do SC_B para SC_E

$$R = \begin{bmatrix} C_\psi C_\theta & C_\psi S_\theta S_\phi - S_\psi C_\phi & C_\psi S_\theta C_\phi + S_\psi S_\phi \\ S_\psi C_\theta & S_\psi S_\theta S_\phi + C_\psi C_\phi & S_\psi S_\theta C_\phi - S_\phi C_\psi \\ -S_\theta & C_\theta S_\phi & C_\theta C_\phi \end{bmatrix}$$

Modelagem Matemática

- EDOs do movimento de translação
 - 2ª Lei de Newton

$$\frac{d^2 x}{dt^2} = (C_\psi S_\theta C_\phi + S_\psi S_\phi) \frac{U}{m}$$

$$\frac{d^2 y}{dt^2} = (S_\psi S_\theta C_\phi - S_\phi C_\psi) \frac{U}{m}$$

$$\frac{d^2 z}{dt^2} = -g + (C_\theta C_\phi) \frac{U}{m}$$

Modelagem Matemática

- Rotação

- Lagrangiano

$$\begin{cases} \mathcal{L} = E - V \\ \frac{d}{dt} \left(\frac{\partial \mathcal{L}}{\partial \dot{\rho}_i} \right) - \frac{\partial \mathcal{L}}{\partial \rho_i} = \gamma_i \end{cases}$$

- Energias cinética e potencial

$$\begin{aligned} E &= \frac{1}{2} I_{xx} \left(\frac{d\phi}{dt} - \frac{d\psi}{dt} \sin(\theta) \right)^2 \\ &+ \frac{1}{2} I_{yy} \left(\frac{d\theta}{dt} \cos(\phi) + \frac{d\psi}{dt} \sin(\phi) \cos(\theta) \right)^2 \\ &+ \frac{1}{2} I_{zz} \left(\frac{d\theta}{dt} \sin(\phi) - \frac{d\psi}{dt} \cos(\phi) \cos(\theta) \right)^2 \\ V &= g \int_C (-S_\theta x_B + C_\theta S_\phi y_B + C_\phi C_\theta z_B) dm \\ &= \int_C x_B dm (-g S_\theta) + \int_C y_B dm (g C_\theta S_\phi) \\ &+ \int_C z_B dm (g C_\phi C_\theta) \end{aligned}$$

Modelagem Matemática

- Torques em torno dos eixos de rotação

$$\tau_x = bL(\Omega_4^2 - \Omega_2^2)$$

$$\tau_y = bL(\Omega_3^2 - \Omega_1^2)$$

$$\tau_z = d(\Omega_1^2 - \Omega_2^2 + \Omega_3^2 - \Omega_4^2)$$

Modelagem Matemática

- EDOs do movimento de rotação

$$\frac{d^2\phi}{dt^2} = \frac{d^2\psi}{dt^2} \sin(\theta) + \frac{\frac{d\psi}{dt} \frac{d\theta}{dt} \cos(\theta) (I_{xx} + (I_{yy} - I_{zz})(2 \cdot \cos(\phi)^2 - 1))}{I_{xx}} - \frac{1}{2} \frac{d\theta^2}{dt} \sin(2\phi) \frac{I_{yy} - I_{zz}}{I_{xx}} + \frac{1}{2} \frac{d\psi^2}{dt} \sin(2\phi) \cos(\theta)^2 \frac{I_{yy} - I_{zz}}{I_{xx}} + \frac{\tau_x}{I_{xx}}$$

$$\frac{d^2\theta}{dt^2} = \frac{-\frac{d^2\psi}{dt^2} (1/2) \sin(2\phi) \cos(\theta) (I_{yy} - I_{zz})}{I_{yy} \cos(\phi)^2 + I_{zz} \sin(\phi)^2} - \frac{\frac{1}{2} \frac{d\psi^2}{dt} \sin(2\theta) (-I_{xx} + I_{yy} \sin(\phi)^2 + I_{zz} \cos(\phi)^2)}{I_{yy} \cos(\phi)^2 + I_{zz} \sin(\phi)^2} + \frac{\frac{d\theta}{dt} \frac{d\phi}{dt} \sin(2\phi) (I_{zz} - I_{yy})}{I_{yy} \cos(\phi)^2 + I_{zz} \sin(\phi)^2} + \frac{\frac{d\psi}{dt} \frac{d\phi}{dt} \cos(\theta) (\cos(2\phi) (I_{yy} - I_{zz}) + I_{xx}) + \tau_y}{I_{yy} \cos(\phi)^2 + I_{zz} \sin(\phi)^2}$$

Modelagem Matemática

- Mais EDOs do movimento de rotação

$$\begin{aligned}
 \frac{d^2\psi}{dt^2} = & \frac{\frac{d^2\phi}{dt^2} \sin(\theta) I_{xx} - \frac{d^2\theta}{dt^2} \frac{1}{2} \sin(2\phi) \cos(\theta) (I_{yy} - I_{zz})}{\cos(\theta)^2 (I_{zz} \cos(\phi)^2 + I_{yy} \sin(\phi)^2) + \sin(\theta)^2 I_{xx}} - \\
 & \frac{\frac{d\theta}{dt} \frac{d\psi}{dt} \sin(2\theta) (I_{xx} - I_{zz} \cos(\phi)^2 + I_{yy} \sin(\phi)^2)}{\cos(\theta)^2 (I_{zz} \cos(\phi)^2 + I_{yy} \sin(\phi)^2) + \sin(\theta)^2 I_{xx}} - \\
 & \frac{\frac{d\theta}{dt} \frac{d\psi}{dt} \sin(2\theta) (I_{xx} - I_{zz} \cos(\phi)^2 + I_{yy} \sin(\phi)^2)}{\cos(\theta)^2 (I_{zz} \cos(\phi)^2 + I_{yy} \sin(\phi)^2) + \sin(\theta)^2 I_{xx}} + \\
 & \frac{\frac{d\psi}{dt} \frac{d\phi}{dt} \sin(2\phi) \cos(\theta)^2 (I_{yy} - I_{zz})}{\cos(\theta)^2 (I_{zz} \cos(\phi)^2 + I_{yy} \sin(\phi)^2) + \sin(\theta)^2 I_{xx}} - \\
 & \frac{\frac{d\theta}{dt} \frac{d\phi}{dt} \cos(\theta) (I_{xx} + (2 \cos(\phi)^2 - 1) (I_{yy} - I_{zz}))}{\cos(\theta)^2 (I_{zz} \cos(\phi)^2 + I_{yy} \sin(\phi)^2) + \sin(\theta)^2 I_{xx}} + \\
 & \frac{\frac{1}{2} \frac{d\theta}{dt}^2 \sin(2\phi) \sin(\theta) (I_{yy} - I_{zz}) + \tau_z}{\cos(\theta)^2 (I_{zz} \cos(\phi)^2 + I_{yy} \sin(\phi)^2) + \sin(\theta)^2 I_{xx}}
 \end{aligned}$$

Modelagem Matemática

- O modelo de rotação anterior foi utilizado na concepção de um simulador da dinâmica de quadricópteros;
- Complexo para ser utilizado no projeto da estratégia de controle;
 - Simplificação do modelo.

Modelagem Matemática

- Modelo simplificado para pequenos ângulos

$$\left\{ \begin{array}{l} \sin(\alpha) \approx 0 \\ \cos(\alpha) \approx 1 \\ \omega_x \approx \frac{d\phi}{dt} \\ \omega_y \approx \frac{d\theta}{dt} \\ \omega_z \approx \frac{d\psi}{dt} \end{array} \right.$$

$$\frac{d^2\phi}{dt^2} = \frac{I_{yy} - I_{zz}}{I_{xx}} \frac{d\psi}{dt} \frac{d\theta}{dt} + \frac{\tau_x}{I_{xx}}$$

$$\frac{d^2\theta}{dt^2} = \frac{I_{zz} - I_{xx}}{I_{yy}} \frac{d\psi}{dt} \frac{d\phi}{dt} + \frac{\tau_y}{I_{yy}}$$

$$\frac{d^2\psi}{dt^2} = \frac{I_{xx} - I_{yy}}{I_{zz}} \frac{d\theta}{dt} \frac{d\phi}{dt} + \frac{\tau_z}{I_{zz}}$$

Modelagem Matemática

- Conversão Torques e empuxo → Rotação dos motores

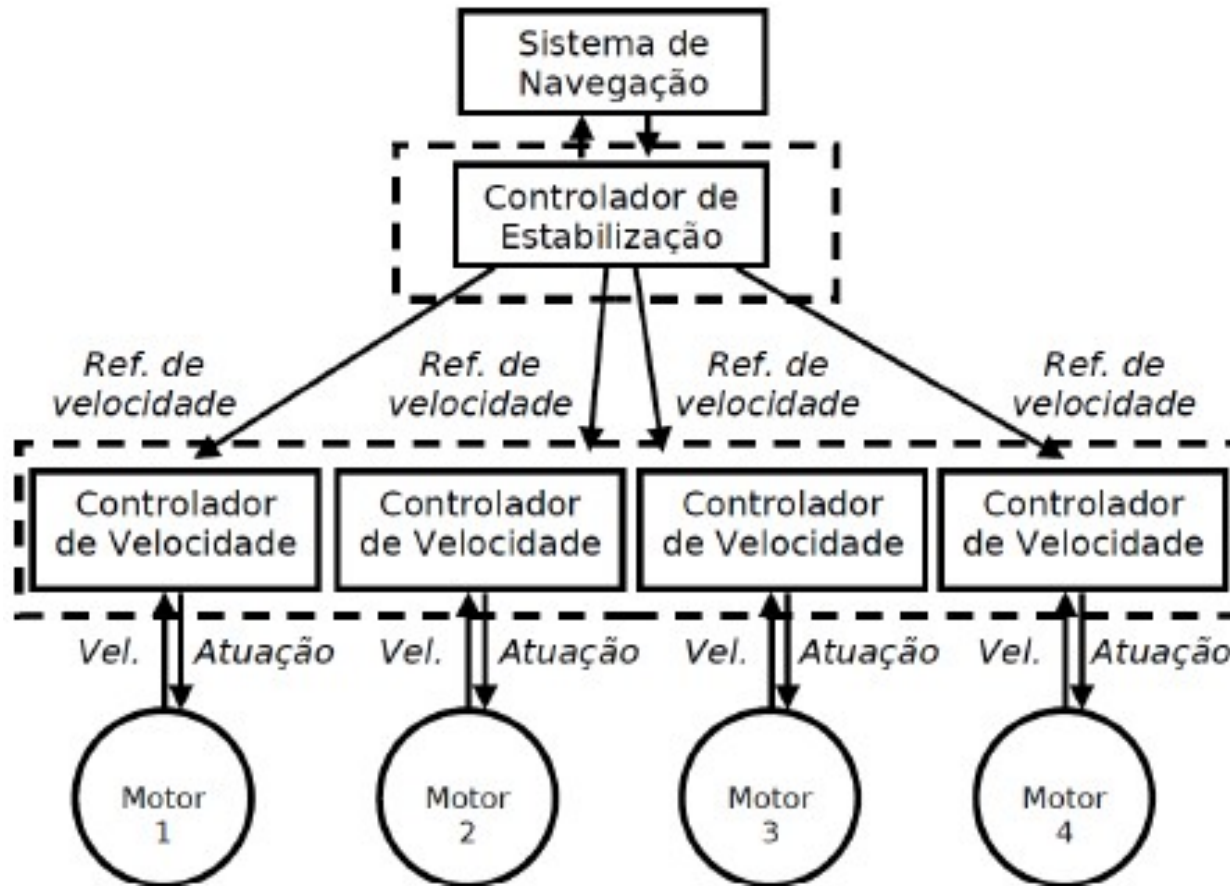
$$\Omega_1 = \frac{1}{2} \sqrt{-\frac{-bL\tau_z + 2d\tau_y - dLU}{bLd}} > 0$$

$$\Omega_2 = \frac{1}{2} \sqrt{-\frac{bL\tau_z - dLU + 2d\tau_x}{bLd}} > 0$$

$$\Omega_3 = \frac{1}{2} \sqrt{\frac{bL\tau_z + 2d\tau_y + dLU}{bLd}} > 0$$

$$\Omega_4 = \frac{1}{2} \sqrt{-\frac{bL\tau_z - dLU - 2d\tau_x}{bLd}} > 0$$

Controle e Simulações



Controle e Simulações

- Objetivo
 - Estabilizar a atitude do quadricóptero a uma altura constante;
- Controle linear
 - Controle PID;
 - Linearização de modelo;
- Controle Não-linear
 - Controle *Backstepping*.

Controle e Simulações

■ Controle PID

- Quatro controladores independentes: três eixos de rotação e a altitude;
- Ações de controle somadas para determinação da atuação final.

$$\begin{cases} u_i(k) = u_i(k-1) + K_{id}Te(k), \\ u(k) = K_{pd}e(k) + u_i(k) + \frac{K_{dd}}{T}(e(k) - e(k-1)) \end{cases}$$

$$\begin{bmatrix} \tau_x(k) \\ \tau_y(k) \\ \tau_z(k) \\ U(k) \end{bmatrix} = \begin{bmatrix} u_\phi(k) \\ u_\theta(k) \\ u_\psi(k) \\ u_z(k) + mg \end{bmatrix}$$

Controle e Simulações

- Linearização de modelo
 - Ponto de operação: vôo planado (todas as inclinações nulas) com altitude constante;
 - Realimentação total de estado.

$$\dot{\xi} = f(\xi, u) = \begin{bmatrix} \dot{\phi} \\ \dot{\theta} \\ \dot{\psi} \\ \dot{z} \\ \frac{I_{yy} - I_{zz}}{I_{xx}} \dot{\psi} \dot{\theta} + \frac{\tau_x}{I_{xx}} \\ \frac{I_{zz} - I_{xx}}{I_{yy}} \dot{\psi} \dot{\phi} + \frac{\tau_y}{I_{yy}} \\ \frac{I_{xx} - I_{yy}}{I_{zz}} \dot{\theta} \dot{\phi} + \frac{\tau_z}{I_{zz}} \\ -g + \frac{\cos(\theta) \cos(\phi) U}{m} \end{bmatrix}$$

$$\delta \dot{\xi} = \left. \frac{\partial f}{\partial \xi} \right|_{\substack{\xi = \bar{\xi} \\ u = \bar{u}}} \delta \xi + \left. \frac{\partial f}{\partial u} \right|_{\substack{\xi = \bar{\xi} \\ u = \bar{u}}} \delta u$$

$$\begin{cases} \delta \xi = \xi - \bar{\xi} \\ \delta u = -K \delta \xi \\ u = \bar{u} + \delta u \end{cases}$$

Controle e Simulações

■ *Backstepping*

- Estabiliza seqüencialmente as variáveis de estado do modelo;
- Controla os 6 DOF do quadricóptero.

$$\dot{X} = f(X, F) = \begin{bmatrix} x_2 \\ x_4x_6a_1 + b_1\frac{\tau_x}{L} \\ x_4 \\ x_2x_6a_2 + b_2\frac{\tau_y}{L} \\ x_6 \\ x_4x_2a_3 + b_3\frac{\tau_z}{L} \\ x_8 \\ -g + (\cos(x_1)\cos(x_3))\frac{1}{m}U \\ x_{10} \\ u_x\frac{1}{m}U \\ x_{12} \\ u_y\frac{1}{m}U \end{bmatrix}$$

$$\tau_x = \frac{L}{b_1}(z_1 - a_1x_4x_6 - \alpha_1(z_2 + \alpha_1z_1) - \alpha_2z_2)$$

$$\tau_y = \frac{L}{b_2}(z_3 - a_2x_2x_6 - \alpha_3(z_4 + \alpha_3z_3) - \alpha_4z_4)$$

$$\tau_z = \frac{L}{b_3}(z_5 - a_3x_2x_4 - \alpha_5(z_6 + \alpha_5z_5) - \alpha_6z_6)$$

$$U = m \frac{(z_7 + g - \alpha_7(z_8 + \alpha_7z_7) - \alpha_8z_8)}{\cos(x_1)\cos(x_3)}$$

$$u_x = \frac{m}{U}(z_9 - \alpha_9(z_{10} + \alpha_9z_9) - \alpha_{10}z_{10})$$

$$u_y = \frac{m}{U}(z_{11} - \alpha_{11}(z_{12} + \alpha_{11}z_{11}) - \alpha_{12}z_{12})$$

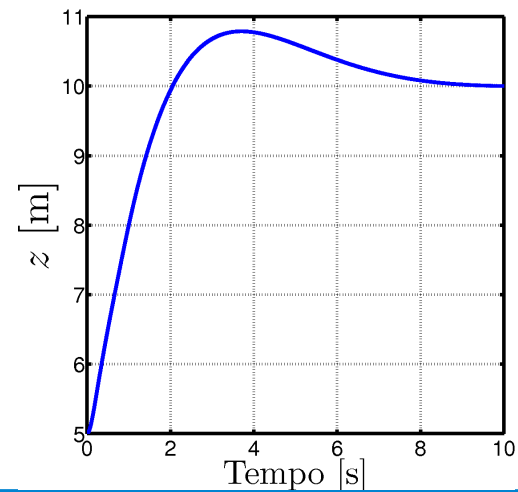
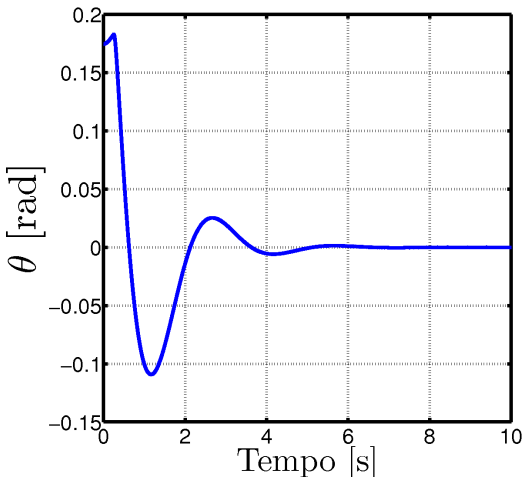
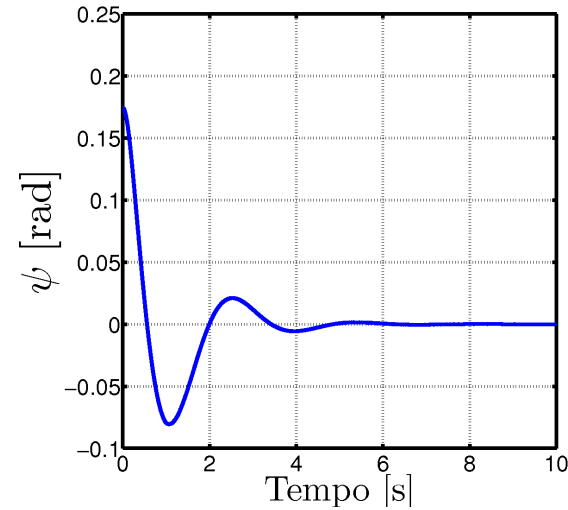
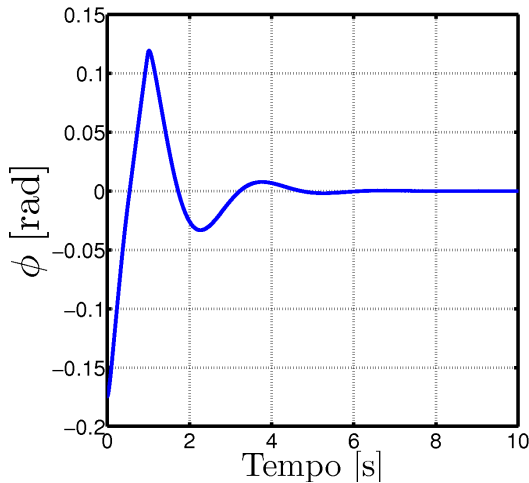
Controle e Simulações

- Parâmetros de simulação

Símbolo	Descrição	Valor
m	massa total	1,5 kg
g	gravidade local	9,81 $\frac{m}{s^2}$
I_{xx}	inércia do eixo x	0,033 kg.m ²
I_{yy}	inércia do eixo y	0,033 kg.m ²
I_{zz}	inércia do eixo z	0,066 kg.m ²
L	meia envergadura	0,5 m
b	coeficiente de empuxo	2,64.10 ⁻⁴ N.s ²
d	coeficiente de arrasto	7,5.10 ⁻⁷ N.m.s ²

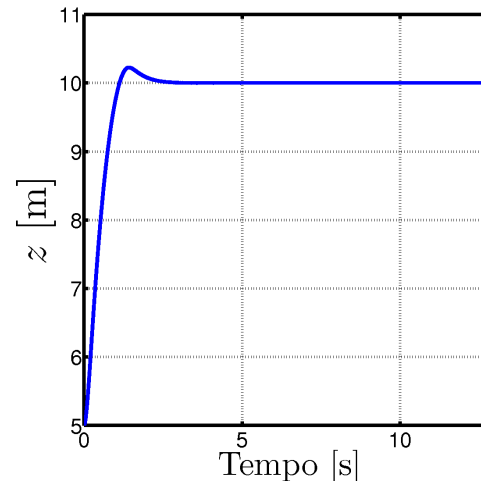
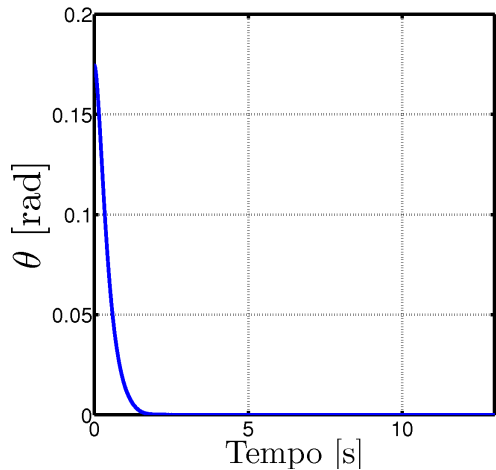
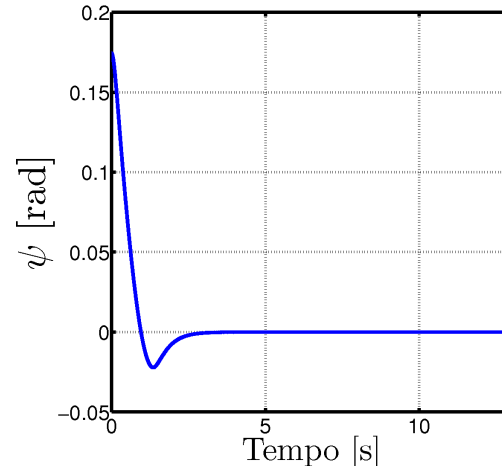
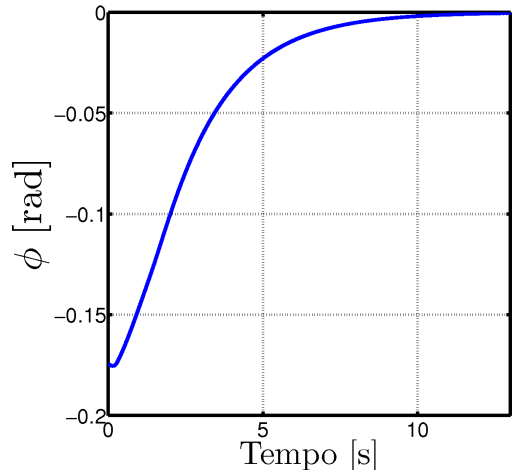
Controle e Simulações

■ Controle PID



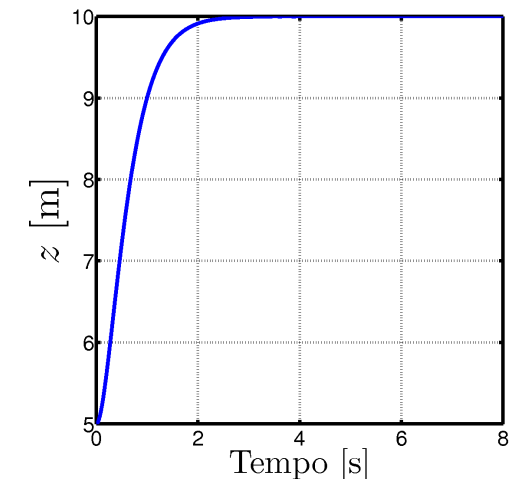
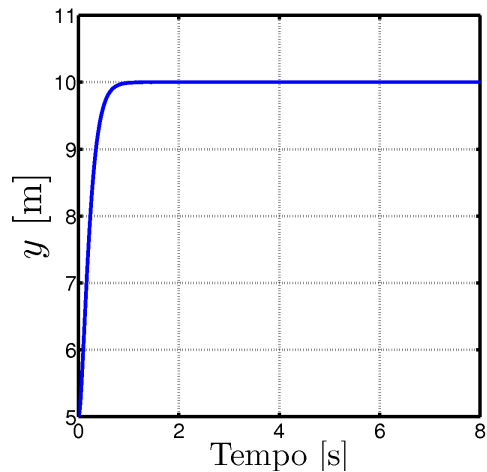
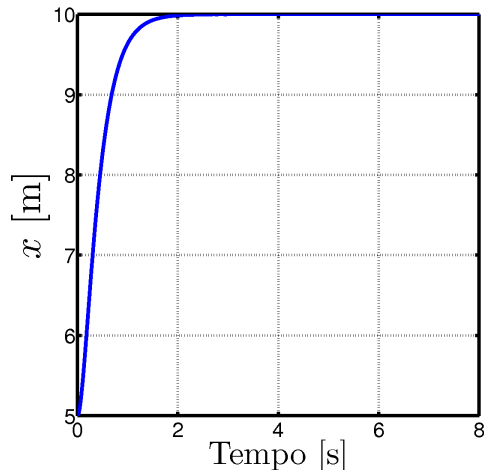
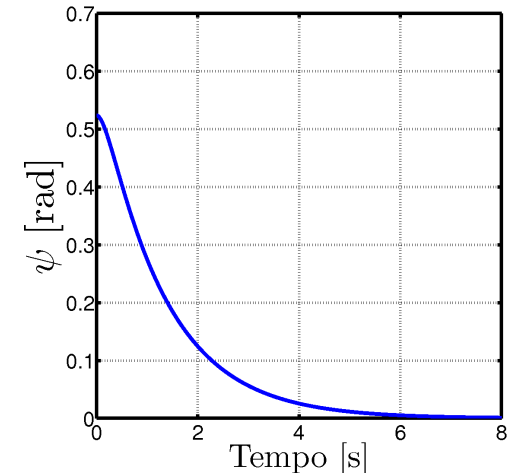
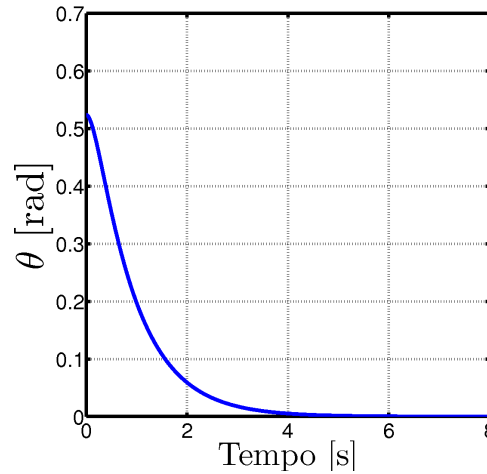
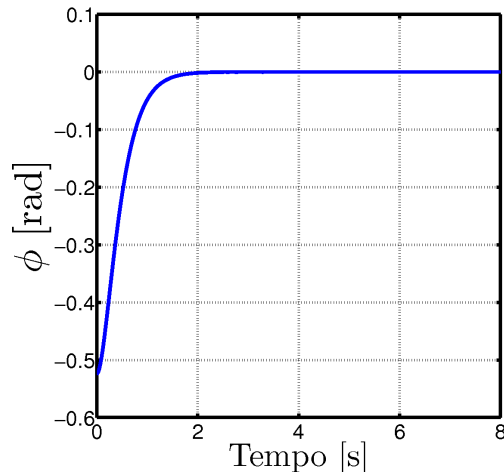
Controle e Simulações

- Linearização de modelo



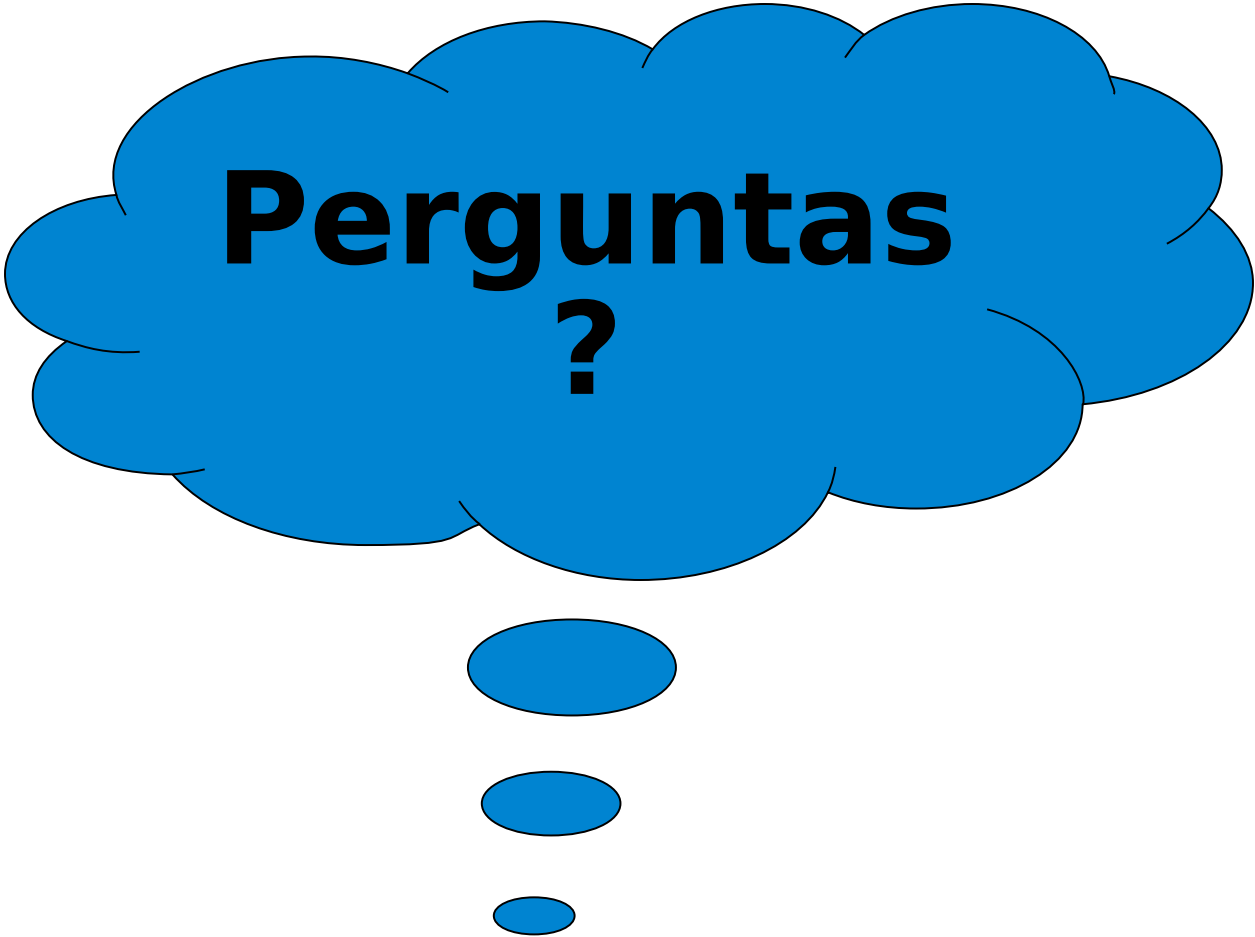
Controle e Simulações

■ Backstepping



Conclusões

- Um modelo matemático abrangendo diversas características não-lineares da dinâmica de quadricópteros foi utilizado na concepção de um simulador;
- Três diferentes estratégias de controle em cascata foram testadas e suas viabilidades verificadas;
- Um protótipo está sendo atualmente aperfeiçoado para implementação dos resultados das simulações;
- Pretende-se utilizar as técnicas de controle linear apresentadas neste trabalho como possíveis meios para estabilizar o protótipo durante o processo de identificação de seus parâmetros de modelo, permitindo o uso de estratégias de controle mais sofisticadas no futuro;
- O resultado final esperado deste projeto é a obtenção de uma aeronave com capacidade de vôo autônomo para ser utilizada em projetos de pesquisa do laboratório e possíveis aplicações comerciais.



**Perguntas
?**

**Obrigado pela
atenção!**